

ОБЪЕДИНЕННЫЙ
ИНСТИТУТ
ЯДЕРНЫХ
ИССЛЕДОВАНИЙ
ДУБНА



Д-421

2740/2-76

19/vii-76

P4 - 9635

Р.В.Джолос, В.П.Пермяков, Г.Шульц

НЕАДИАБАТИЧЕСКИЕ ЭФФЕКТЫ
ВО ВЗАИМОДЕЙСТВИИ СЛОЖНЫХ ЯДЕР

1976

Р4 - 9635

Р.В.Джолос, В.П.Пермяков, Г.Шульц^{*}

**НЕАДИАБАТИЧЕСКИЕ ЭФФЕКТЫ
ВО ВЗАИМОДЕЙСТВИИ СЛОЖНЫХ ЯДЕР**

Направлено в ЯФ

* Центральный институт ядерных исследований,
Россендорф, ГДР.

1. Введение

При анализе процессов с участием тяжелых ионов упругий канал реакции, как правило, используется для установления параметров оптического потенциала. С этой целью анализируются экспериментальные данные по рассеянию в широком угловом интервале. Таким образом, на основе имеющегося экспериментального материала удалось в ряде случаев установить параметры оптического потенциала, которые, в среднем, передают также и основные черты неупругого /возбуждение низколежащих состояний/ рассеяния сложных ядер^{1,2}.

Дальнейшим обобщением оптической модели является приближение сильной связи каналов, которое включает одновременно как упругое, так и неупругое рассеяние³. Расчеты, выполненные на основе метода сильной связи каналов, показали, что включение в рассмотрение неупругих каналов приводит к существенной перенормировке параметров оптического потенциала, установленных для процессов упругого рассеяния⁴. В принципе, этот подход можно было бы попытаться применить и к проблемам взаимодействия сложных ядер. Однако известно, что в реакциях с участием тяжелых ионов с большой вероятностью реализуются процессы, соответствующие значительным энергиям возбуждения /десятки и сотни МэВ/. Этим энергиям соответствует громадная плотность состояний ядер, что делает практически невозможным использование метода сильной связи каналов.

По-видимому, наиболее приемлемым путем преодоления возникающих трудностей было бы получение из квантово-механического многочастичного уравнения дви-

жения классического уравнения, включающего диссипативные силы /силы трения/. Ряд попыток^{/5-8/} был уже предпринят, однако проблема является сложной и не имеет до сих пор убедительного решения.

В данной работе проведен анализ влияния связи внутренних степеней свободы ядер с относительным движением на эффективный гамильтониан, описывающий взаимодействие ядер и зависящий только от радиуса-вектора \vec{R} , соединяющего центры масс. С этой целью при помощи преобразования над координатами, описывающими как относительное движение, так и внутренние колебания в ядрах, достигается приближенное разделение переменных в уравнении Шредингера. В итоге получено радиальное уравнение Шредингера с перенормированными приведенной массой, потенциалом и коллективными параметрами ядер. Это дает нам возможность исследовать поведение эффективного гамильтониана в зависимости от \vec{R} , а также величины возникающих перенормировок коллективных параметров, характеризующих как процесс столкновения, так и внутренние состояния ядер.

2. Гамильтониан

Гамильтониан, описывающий систему из двух взаимодействующих сложных ядер, определим следующим образом:

$$\hat{H} = \hat{T}_{\text{кин.}} + H_0 + H_{\text{вз.}} \quad /1/.$$

где $\hat{T}_{\text{кин}}$ - оператор кинетической энергии относительного движения, H_0 описывает внутреннее движение в ядрах, $H_{\text{вз}}$ - гамильтониан взаимодействия двух ядер.

Будем принимать во внимание лишь возбужденные низколежащих ядерных состояний, при описании которых можно ограничиться гармоническим приближением. Пусть a_j - динамические переменные, описывающие внутреннее движение в ядрах. Здесь j - совокупность квантовых чисел, включающая и индекс ядра. Тогда, для H_0 имеем:

$$\hat{H}_0 = -\frac{\hbar}{2} \sum_j \omega_j \frac{\partial^2}{\partial a_j \partial a_j^*} + \frac{\hbar}{2} \sum_j \omega_j a_j a_j^* \quad /2/$$

Гамильтониан взаимодействия запишем следующим образом ^{/9/}:

$$H_{ВЗ} = \int V(\vec{R} + \vec{r}_1 - \vec{r}_2) \hat{\rho}^{(1)}(\vec{r}_1) \hat{\rho}^{(2)}(\vec{r}_2) d\vec{r}_1 d\vec{r}_2 \quad /3/$$

В этом выражении \vec{R} - расстояние между центрами масс сталкивающихся ядер; \vec{r}_1, \vec{r}_2 - векторы, откладываемые из центров соответствующих ядер; V - нуклон-нуклонный потенциал; $\hat{\rho}^{(1)}(\vec{r}_1), \hat{\rho}^{(2)}(\vec{r}_2)$ - одночастичные матрицы плотности двух ядер, которые можно представить в виде ряда по степеням a_j :

$$\hat{\rho}^{(i)}(\vec{r}_i) = \rho_0^{(i)}(\vec{r}_i) + \sum_j \rho_j^{(i)}(\vec{r}_i) a_j + \sum_{jk} \rho_{jk}^{(i)} a_j a_k + \dots \quad /4/$$

Здесь $\rho_0^{(i)}(\vec{r}_i)$ - средняя плотность распределения нуклонов в ядре. В разложении /4/ мы пренебрегли зависимостью от $\partial/\partial a_j$. Это не принципиально, однако существенно упрощает выкладки.

Подставляя /4/ в /3/, получаем:

$$H_{ВЗ} = U_0(\vec{R}) + \sum_j U_j(\vec{R}) a_j + \sum_{jk} U_{jk}(\vec{R}) a_j a_k + \dots \quad /5/$$

где:

$$U_0(\vec{R}) = \int V(\vec{R} + \vec{r}_1 - \vec{r}_2) \rho_0^{(1)}(\vec{r}_1) \rho_0^{(2)}(\vec{r}_2) d\vec{r}_1 d\vec{r}_2$$

$$U_j(\vec{R}) = \int V(\vec{R} + \vec{r}_1 - \vec{r}_2) [\rho_0^{(1)}(\vec{r}_1) \rho_j^{(2)}(\vec{r}_2) + \rho_0^{(2)}(\vec{r}_2) \rho_j^{(1)}(\vec{r}_1)] d\vec{r}_1 d\vec{r}_2$$

и т.д.

Отметим, что присутствие в гамильтониане /1/ членов типа $U_j(\vec{R}) a_j$ означает, что параметры a_j флуктуируют не относительно нулевого значения как в свободном ядре, а относительно конечного значения, определяемого функцией $U_j(\vec{R})$. Это отражает тот факт, что основное состояние системы, описываемой динамическими переменными a_j , во внешнем поле иное, чем в его отсутствие.

3. Преобразование координат

Имея в виду в дальнейшем задачу приближенного разделения переменных в уравнении Шредингера, сделаем следующие преобразования координат:

$$R_\nu = \Phi_\nu(r, \beta) = r_\nu + \sum_j \Phi_{\nu j}(r) \beta_j, \quad \nu = 0, \pm 1,$$

$$a_j = F_j(r, \beta) = F_j^{(1)}(r) + \sum_k F_{jk}^{(2)}(r) \beta_k. \quad /6/$$

Здесь R_ν - сферические компоненты радиус-вектора. В соотношениях /6/ r_ν , β_j - новые динамические переменные, описывающие соответственно радиальное движение и внутренние колебания в ядрах. На асимптотике ($R \rightarrow \infty$), $r_\nu \rightarrow R_\nu$ - радиус-вектор относительного расстояния между центрами масс сталкивающихся ядер, $\beta_j \rightarrow a_j$.

Функции $\Phi_{\nu j}(\vec{r})$, $F_\mu^{(1)}(r)$, $F_{\mu k}^{(2)}(\vec{r})$ определим так, чтобы в \hat{H} отсутствовали:

а/ перекрестные члены вида $\frac{\partial^2}{\partial r_\nu \partial \beta_k}$,

б/ линейные по β_j слагаемые типа $\beta_j \chi_j(\vec{r})$.

В результате гамильтониан /1/ примет вид:

$$\hat{H} = -\frac{\hbar^2}{2} \sum_{\nu\nu'} \frac{\partial}{\partial r_\nu} M_{\nu\nu'}^{-1} \frac{\partial}{\partial r_{\nu'}} + \tilde{U}(\vec{r}) - \frac{\hbar}{2} \sum_j \omega_j \frac{\partial}{\partial \beta_j \partial \beta_j^*} + \frac{\hbar}{2} \sum_{jk} \Omega_{jk}(r) \beta_j \beta_k + \dots \quad /7/$$

Матрица $M_{\nu\nu'}$ /обратная $M_{\nu\nu'}^{-1}$, играющая в /7/ роль тензора массы/ становится зависящей от r и внутренних динамических переменных β_j и имеет вид:

$$\begin{aligned} (-)^{\nu} M_{\nu'\nu} = M \delta_{\nu\nu'} (-)^{\nu} + \frac{\hbar}{\omega} \sum_j \frac{\partial F_j^{(1)}}{\partial r_\nu} \frac{\partial F_{-j}^{(1)}}{\partial r_{\nu'}} - \\ - \frac{2\hbar}{\omega} \sum_\lambda (-)^\lambda \frac{\partial^2 F_\mu^{(1)}}{\partial r_\nu \partial r_{\nu'}} \Phi_{\lambda k} \beta_k + \end{aligned}$$

$$\begin{aligned}
& + M \sum (-)^i \frac{\partial F_{ik}^{(2)}}{\partial r_{\nu}} \frac{\partial F_{-ik}^{(2)}}{\partial r_{\nu'}} \beta_k \beta_{k'} + \\
& + \frac{\hbar}{\omega} \sum (-)^{\lambda} \frac{\partial \Phi_{\lambda k}}{\partial r_{\nu}} \frac{\partial \Phi_{-\lambda k'}}{\partial r_{\nu'}} \beta_k \beta_{k'} . \quad /8/
\end{aligned}$$

Здесь M - приведенная масса.

Функция $\Omega_{jk}(r)$, определяющая перенормировку потенциальной энергии внутреннего гамильтониана, определяется соотношением:

$$\begin{aligned}
\Omega_{jk} = & \frac{1}{2} \sum_{\nu} \frac{\partial^2 U_{\nu}}{\partial r_{\nu}^2} \Phi_{\nu j} \Phi_{\nu k} + \sum_{\nu \ell} \frac{\partial U_{\nu \ell}}{\partial r_{\nu}} \Phi_{\nu j} F_{\ell k}^{(2)} + \frac{1}{2} \sum_{\nu} \frac{\partial^2 U_{\nu}}{\partial r_{\nu}^2} \Phi_{\nu j} \Phi_{\nu k} F_{\ell}^{(1)} + \\
& + \sum_{\ell \ell'} U_{\ell \ell'} F_{\ell j}^{(2)} F_{\ell' k}^{(2)} + \frac{1}{2} \sum_{\nu \ell \ell'} \frac{\partial^2 U_{\ell \ell'}}{\partial r_{\nu}^2} \Phi_{\nu j} \Phi_{\nu k} F_{\ell}^{(1)} F_{\ell'}^{(1)} + \\
& + 2 \sum_{\nu \ell \ell'} \frac{\partial U_{\ell \ell'}}{\partial r_{\nu}} \Phi_{\nu k} F_{\ell'}^{(1)} F_{\ell j}^{(2)} + \frac{\hbar}{2} \sum_{\lambda} \omega (-)^{\lambda} F_{\lambda j}^{(2)} F_{\lambda k}^{(2)} . \quad /9/
\end{aligned}$$

4. Определение функций преобразования

$$\Phi_{\nu j}, F_{\mu}^{(1)}, F_{\mu k}^{(2)}$$

Как уже отмечалось выше, функции преобразования $\Phi_{\nu j}, F_{\mu}^{(1)}, F_{\mu k}^{(2)}$ определяются из условий отсутствия в гамильтониане перекрестных членов вида $\frac{\partial^2}{\partial r_{\nu} \partial \beta_k}$ и

членов, линейных по β . Из первого условия следует:

$$\Phi_{j\mu} = - \frac{\hbar}{M\omega} (-)^j \sum_{\lambda} (-)^{\lambda} F_{\lambda\mu}^{(2)} \frac{\partial F_{-\lambda}}{\partial r_{-j}}$$

$$M \sum_i (-)^i \Phi_{i\mu} \Phi_{-i\nu} + \frac{\hbar}{\omega} \sum_{\lambda} (-)^{\lambda} F_{\lambda\mu}^{(2)} F_{-\lambda\nu}^{(2)} = \frac{\hbar}{\omega} (-)^{\mu} \delta_{-\mu\nu} . \quad /10/$$

Из второго условия получаем:

$$h\omega F^{(1)} - \frac{1}{2}\sqrt{\frac{15}{2\pi}}R_0\frac{U'_{B3}}{r} - \frac{2}{3}\sqrt{\frac{15}{2\pi}}\frac{hR_0}{M\omega}U'_{B3}F^{(1)}(F^{(1)} + \\ + r^2 F^{(1)}) = 0. \quad /11/$$

Точный вид функций преобразования $\Phi_{\nu j}$, $F_{\mu}^{(1)}$, $F_{\mu k}^{(2)}$ можно определить, задав явный вид потенциала взаимодействия и конкретизировав динамические переменные, описывающие внутренние колебания в ядрах.

Пусть динамические переменные a_j описывают квадрупольные колебания в ядрах, а в качестве потенциала H_{B3} между сложными ядрами примем кулоновское взаимодействие в линейном по параметру квадрупольной деформации приближении.

Тогда для этого случая имеем:

$$R_{\nu} = r_{\nu} + \sum_L (\beta \Phi_L)_{1\nu} \\ \alpha_{\mu} = F_{\mu}^{(1)} + \sum_L (\beta F_L^{(2)})_{2\mu}, \quad \mu = 0, \pm 1, \pm 2, \quad /12/$$

где:

$$\Phi_{LM}(\vec{r}) = \Phi_1(r^2)C_{1L2M}^{1\nu'} r_{\nu'} + \Phi_2(r^2)C_{1L2M}^{2\nu'} [rr]_{2\nu'} + \\ + \Phi_3(r^2) [rrr]_{3\nu'} \\ F_{\mu}^{(1)}(\vec{r}) = [rr]_{2\mu} F^{(1)}(r^2) \\ F_{jk}^{(2)}(\vec{r}) = \sum_{\ell=0}^4 C_{2j\ 2k}^{\ell m} F_{\ell}^{(2)}(r^2) [r \dots r]_{\ell m}. \quad /13/$$

Здесь квадратные скобки $[]_{\ell m}$ означают векторную связь. В Приложении приведены уравнения для определения функций преобразования координат.

Для определения эффектов перенормировок в кинетической части энергии столкновения необходимо знать матрицу $M_{\eta\eta'}^{-1}$. Не зависящая от внутренних переменных $M_{\eta\eta'}^{(0)-1}$ часть этой матрицы имеет вид:

$$M_{\eta\eta'}^{(0)-1} = \frac{1}{(1+2r^2 F^{(1)}(r^2))} (-)^{\eta} \delta_{-\eta\eta'}$$

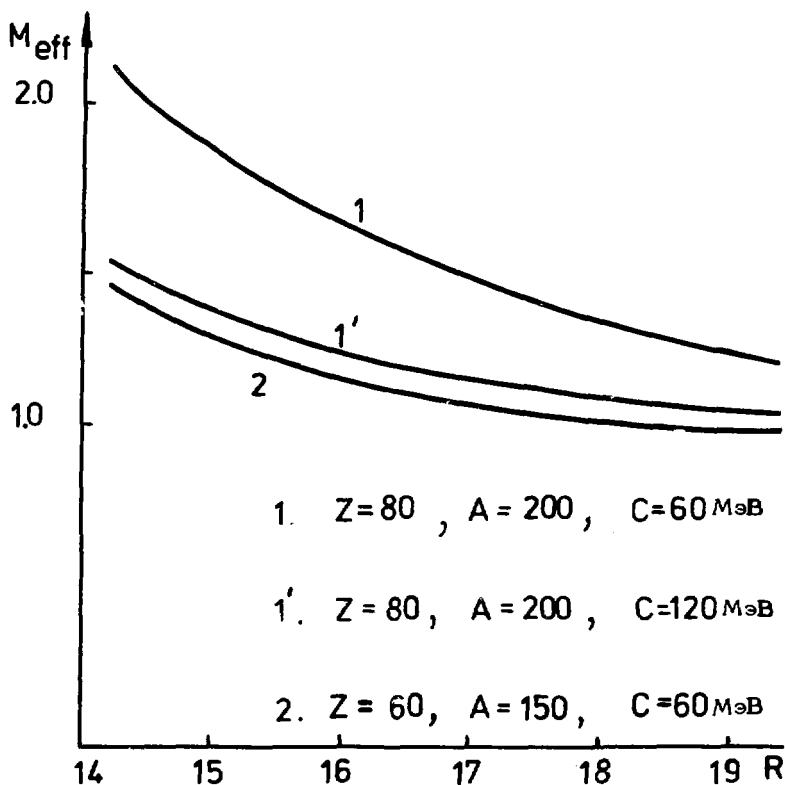
$$= \frac{1}{(1+2r^2 F^{(1)})^2 \left\{ 1 + \frac{3}{8} \frac{1+2r^2 F^{(1)^2}}{\left(\frac{1}{2} F^{(1)} + r^2 F^{(1)\omega'}\right)^2} \right\}} r_{\eta} r_{\eta'} \quad /14/$$

5. Обсуждения и результаты

Остановимся на ряде физических следствий из полученных результатов. Из соотношения /7/ следует, что переменные β_j флуктуируют относительно нулевого значения и могут считаться малыми /если собственные значения матрицы Ω_{jk} не становятся слишком маленькими/. Это означает, что преобразованием /6/ учитывается адиабатическая часть процесса столкновения двух сложных квантовых систем /10/, т.е. та часть процесса, которая не содержит реальных возбуждений системы.

Далее, в результате выполненных над гамильтонианом преобразований, приведенная эффективная масса μ перенормируется и становится функцией от координат относительного движения, углов рассеяния и внутренних переменных, возрастающей по мере сближения ядер. В этой связи отметим результаты расчета массового коэффициента для квадрупольной деформации для процесса деления /11/. Массовый коэффициент $B_{\lambda\lambda}$, как функция квадрупольной деформации, переходит в приведенную массу M делящегося ядра для $R > 2R_0$, где $2R_0$ - расстояние между центрами масс образовавшихся осколков деления. Для $R < 2R_0$ ($\rho < \beta_{\text{крит.}}$), массовый коэффициент $B_{\lambda\lambda}$ существенно превышает величину μ .

И последнее значение. Потенциальная энергия внутренних колебаний перенормируется и становится зависящей от R , а именно: в зависимости потенциальной энергии от R и приведенной массы от внутренних пере-



Зависимость приведенной массы M_{eff} от R для двух реакций.

менных f_j содержится источник реального возбуждения ядра в результате процесса столкновения.

Оценим величину перенормировки приведенной эффективной массы μ и радиального потенциала взаимодействия двух сложных ядер, учитывая связь внутренних квадрупольных колебаний в ядрах с энергией относительного движения. При этом рассматриваем диагональную часть матрицы $M_{\nu\nu}^{-1}$ и пренебрегаем ее зависимостью от β .

На рисунке показаны результаты расчета для двух реакций. Видно, что величина эффекта не мала и существенно зависит от зарядов и массовых чисел взаимодействующих ядер, а также от коллективных характеристик ядер.

Что касается перенормировки эффективного радиального потенциала взаимодействия, то основной вклад в изменение $V_{\text{эфф}}$ дает член типа $\gamma^2/C \cdot R^6$, где $\gamma = \frac{3\sqrt{2}}{5} Z^2 e^2 R_0^2$, R_0 - радиус ядра, C - эффективная жесткость системы. Этот результат ранее был получен Брейтом^{12/}, а интерпретация и возможные проявления изменения величины кулоновской энергии на высоту кулоновского барьера взаимодействующих ядер даны в работе^{13/}.

Авторы признательны участникам семинара по теории ядра ЛТФ за полезные обсуждения.

ПРИЛОЖЕНИЕ

Как это следует из /10/, уравнения для функций преобразования имеют вид:

$$\Phi_1 = \frac{\hbar}{M\omega} F^{(1)} \left(2\sqrt{\frac{5}{3}} F_0^{(2)} - \frac{2}{3} \sqrt{\frac{7}{5}} r^2 F_2^{(2)} \right) +$$

$$+ r^2 \frac{\hbar}{M\omega} F^{(1)} \left(\frac{4}{\sqrt{15}} F_0^{(2)} - \frac{8}{3\sqrt{35}} r^2 F_2^{(2)} + \frac{16}{35\sqrt{3}} r^4 F_4^{(2)} \right)$$

$$\Phi_2 = \sqrt{\frac{5}{3}} \frac{\hbar}{M\omega} F^{(1)} F_2^{(2)} - 2\sqrt{\frac{2}{7}} \frac{\hbar}{M\omega} r^2 F^{(1)} F_3^{(2)}$$

$$\Phi_3 = \frac{\hbar}{M\omega} \left(\frac{2}{3} F^{(1)} F_2^{(2)} - \frac{32}{3\sqrt{105}} r^2 F^{(1)} F_4^{(2)} + \frac{4}{3} r^2 F^{(1)} F_2^{(2)} - \right. \\ \left. - \frac{8}{\sqrt{105}} r^4 F^{(1)} F_4^{(2)} \right)$$

$$M \sum_L (-)^L (3 \begin{matrix} L & L & 0 \\ 2 & 2 & 1 \end{matrix} \{ [\Phi_L \Phi_L]_{00} \} + \frac{\hbar}{\omega} 5 \begin{matrix} L & L & 0 \\ 2 & 2 & 2 \end{matrix} \{ [F_L^{(2)} F_L^{(2)}]_{00} \} = \sqrt{5} \frac{\hbar}{\omega}$$

$$M \sum_{LL'} (-)^L (3 \begin{matrix} L & L' & 1 \\ 2 & 2 & 1 \end{matrix} \{ [\Phi_L \Phi_{L'}]_{1m} \} + \frac{\hbar}{\omega} 5 \begin{matrix} L & L' & 1 \\ 2 & 2 & 2 \end{matrix} \{ [F_L^{(2)} F_{L'}^{(2)}]_{1m} \} = 0$$

$$M \sum_{LL'} (-)^L (3 \begin{matrix} L & L' & 2 \\ 2 & 2 & 1 \end{matrix} \{ [\Phi_L \Phi_{L'}]_{2m} \} + \frac{\hbar}{\omega} 5 \begin{matrix} L & L' & 2 \\ 2 & 2 & 2 \end{matrix} \{ [F_L^{(2)} F_{L'}^{(2)}]_{2m} \} = 0$$

$$M \sum_{LL'} (-)^L (3 \begin{matrix} L & L' & 3 \\ 2 & 2 & 1 \end{matrix} \{ [\Phi_L \Phi_{L'}]_{3m} \} + \frac{\hbar}{\omega} 5 \begin{matrix} L & L' & 3 \\ 2 & 2 & 2 \end{matrix} \{ [F_L^{(2)} F_{L'}^{(2)}]_{3m} \} = 0$$

$$M \sum_{LL'} (-)^L (3 \begin{matrix} L & L' & 4 \\ 2 & 2 & 1 \end{matrix} \{ [\Phi_L \Phi_{L'}]_{4m} \} + \frac{\hbar}{\omega} 5 \begin{matrix} L & L' & 4 \\ 2 & 2 & 2 \end{matrix} \{ [F_L^{(2)} F_{L'}^{(2)}]_{4m} \} = 0$$

$$h\omega F^{(1)} - \frac{1}{2} \sqrt{\frac{15}{2\pi}} R_0 \frac{U'_{B3}}{r^2} - \frac{2}{3} \sqrt{\frac{15}{2\pi}} \frac{hR_0}{M\omega} R U'_{B3} F^{(1)} (F^{(1)}_{+r} F^{(1)})' = 0$$

Литература

1. П.Е.Ходгсон. Оптическая модель упругого рассеяния. Атомиздат, 1966.
2. Proc. Third Conf. on Reactions between Complex Nuclei, University of California Press, Berkeley and Los Angeles, 1963.
3. Х.Вибке, В.К.Лукьянов, Г.Шульц. ЭЧАЯ, 3, 993, 1972.
4. Г.Шульц. Структура ядра. ОИЯИ, Д-6465, 433, Дубна, 1972.
5. D.H.E.Gross and H.Kalinowski. Phys.Lett., 49B, 302, 1974.
6. K.K.Kan and J.J.Griffin. Phys.Lett., 50B, 241, 1974.
7. D.H.E.Gross. Nucl.Phys., A240, 472, 1975.
8. J.Bondorf, M.I.Sobel and D.Sperber. Phys.Rep., C, vol. 15, No. 2, 1974.
9. D.M.Brink and N.Rowley. Nucl.Phys., A219, 79, 1974.
10. Р.В.Джолос, В.П.Пермяков. ОИЯИ, Р4-8416, Дубна, 1974.
11. В.М.Струтинский. Структура ядра. ОИЯИ, Д-6465, Дубна, 1972.
12. G.Vrei. et al. Phys.Rev., 87, 74, 1952.
13. Б.Н.Калкикин. ЭЧАЯ, 2, 387, 1971.

Рукопись поступила в издательский отдел
23 марта 1976 года.